

### III-3 混合土の静的・動的三軸圧縮特性について

九州産業大学 正員 ○ 関 直三郎  
石堂 猛

#### 1. まえがき

道路や滑走路の路床、路盤のような土は繰返し荷重の作用を受けるので、その変形量が問題となる。さらに、強度的には応力履歴による影響が粒子構造に変化を与えることは周知の通りであり、Seed<sup>(1)</sup>, 鈴木<sup>(2)</sup>, 北郷ら<sup>(3)</sup>は土質や荷重条件、載荷時間等と連れて実験を行なっていながら、複雑な問題が多いことを示している。そこで我々は、豊浦標準砂と市販カオリンの混合土を用い、粒度分布が静的および繰返し強度に対して如何なる関係を示すかを基礎的に検討した。なお、今回は強度的な結果だけに着目して報告する。

#### 2. 試料と実験方法

使用材料は豊浦標準砂 ( $G_s = 2.645$ ) と市販カオリン ( $G_s = 2.707$ ,  $W_L = 46.7\%$ ,  $W_P = 33.6\%$ ) を重量比で混合したもので、カオリン含有量(以下  $K$  と記す) を 0, 10, 20, 40, 60, 80, 100% とした。ここで、 $K = 20\%$  はカオリン 20%, 砂 80% の混合土を意味するものである。供試体寸法は直径 5 cm, 高さ 12.5 cm, 実験には独自に考案したタンバーとエネルギーダムにておこなうもので、標準突き (JIS A 1210) 相当の  $E_c = 5.6 \text{ kN/cm}^2$  とした。試験は静的、繰返しとともに三軸圧縮試験機により非圧密非排水条件である。静的三軸圧縮試験はそれまでの混合土に対し、含水比を変化させ繰り返し曲線上の密度としたが、繰返しの場合は最適含水比だけに限定した。さらに、繰返し試験装置は空気圧を用いたシリンダーと繰返し応力が載荷できるように改良したものがである。繰返し載荷時間は周期 2 秒(載荷 1 秒、除荷 1 秒) とし、繰返し回数は  $10^3$  回、側圧は  $\sigma_3 = 1.0 \text{ kN/cm}^2$ 、繰返し応力  $\sigma_r$  は静的圧縮時の最大応力 ( $\sigma_i - \sigma_3$ )<sub>max</sub> = 0, 25%, 50%, 75% を目標にした。

#### 3. 試験結果と考察

##### 3-1. 静的三軸圧縮特性

図-1, 2 は静的圧縮強度定数がカオリン含有量によって変化することを示したものである。飽和度  $S_r$  とパラメーターとした場合、バラツキはあるが、見かけの粘着力  $C_u$  は  $K \leq 20\%$  で  $0.1 \text{ kN/cm}^2$  前後、 $20 < K \leq 40\%$  で急激な増大を示し、 $K = 40\%$  で  $C_u$  は最大値となる。しかし、 $K > 40\%$  ではやや減少し横這状態となり、 $S_r$  が 70~90% では  $C_u$  に与える影響は少ないと考えられ、むしろ  $S_r < 60\%$  と  $S_r = 100\%$ において  $C_u$  は変化が大きいと思われる。このことは鬼塚らの研究で明らかにされ、 $S_r = 60\%$  位でピークとなることを示している。図-2 は内部摩擦角  $\phi_u - K$  の関係で、 $K > 20\%$ においては飽和度に対して  $\phi_u$  の変化が大きいことがわかる。特に、 $S_r = 90\%$  で  $\phi_u$  が激減している。このことは  $S_r \leq 80\%$  の状態と  $S_r = 100\%$  の差動は閉塞圧の発生に差があるからと考えられる。さらに、図-1, 2 から大略して  $K < 20\%$  と  $K \geq 40\%$  においては強度定数に明瞭な変化があり、前者を力學的に砂質土とし、 $K \geq 40\%$  を粘性土として分類できることが明らかである。

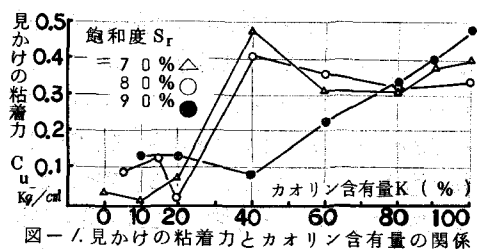


図-1. 見かけの粘着力とカオリン含有量の関係

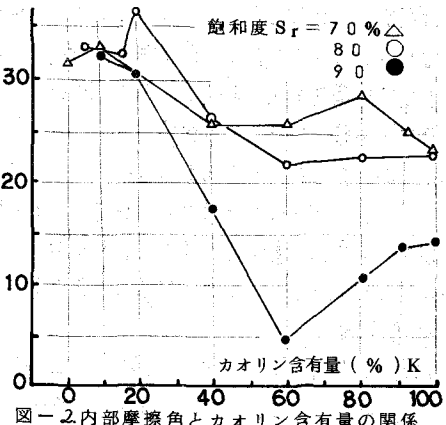


図-2. 内部摩擦角とカオリン含有量の関係

### 3-2. 複返し三軸圧縮特性

図-3.は試料に予め $10^3$ 回の複返し応力を与えた場合、粒度分布と複返し応力が $\sigma_r$ が応力履歴に及ぼす影響を調べたものの代表例である。图からわかつるように、静的圧縮の最大軸差応力 $(\sigma_1 - \sigma_3)_{max}$ の25%と0.5%: 0.75%の応力ヒズミ曲線は明らかに異なる特徴を示している。すなわち、 $\sigma_r = 0.5\%$ , 0.75%とした場合、複返しによって土粒子構造が硬化現象を起し、全般せん断によるために、はっきりしたビーフが現われる。しかし、 $\sigma_r = 0.25\%$ では複返し効果はないと思われる。 $\sigma_r$ の大きさ、複返し回数等種々条件は違うが、Seedらも同様な結果を示している。さらに、図-3.からカオリン含有量と静的圧縮強さとの関係を図-4.に示した。これによると、静的強さに対し $K \leq 20\%$ で半分位の強さしか發揮されていない。これは0.5%以上の $\sigma_r$ では粒状体の結合が急激に弱められ、複返しによる粒状土の密度増加は期待されず、むしろ、 $\sigma_r < 0.25\%$ の条件では構造低価となることが予想される。このことは紙面には記載してないが、応力ヒズミ曲線の型からも理解できる。また、 $K = 100\%$ において $(\sigma_1 - \sigma_3)_{max}/\sigma_r < 1.0$ であるのは複返し応力が大きいことによって、彈性的変動が發揮されないからと思われる。次に、図-5.は目標とする $\sigma_r$ までは静的な三軸圧縮を行った状態で複返しを $10^3$ 回かけた後、さらに静的圧縮試験とした結果を示したものである。これから、図-4.とは結果的に相反するが、次のように理解できる。すなわち、 $K \leq 40\%$ では応力硬化作用により、よりかなり強度が増大する。この現象は粒状土が静的な力でより安定な構造変化に移行する途中で複返しを受けることによって強固め効果が発揮されるからで、予め複返しを受けた場合とは逆に応力履歴によるものと考えられる。また、 $K > 40\%$ においては複返し効果はほとんどない。一般に知られている粘土成分のシキソトロピーによる強度増加等は既々の場合、複返し周期、載荷回数、複返し応力、試料の初期条件等から顕著となかったと思われる。上述から、カオリン含有量の変化に伴う混合土の特性として静的、動的立場からも $K < 40\%$ の土は砂的変動を示し、 $K \geq 40\%$ では粘土的性質を示すことが結論づけられる。終りに、実験ご尽力された本学学生の中島慶夫君と古市邦男君に感謝の意を表します。

#### 参考文献

- (1) 長上武雄編「土質力学」技報堂
- (2) 鈴木荒牧、北園：土木学会第29回年次学術講演会(III-197) p.389-398.
- (3) 北浦、土岐、百瀬：第8回土質工学研究発表会(p.315-318)
- (4) 内田松本、荒牧、北園、三浦：第4回土質工学研究発表会(p.367-372)

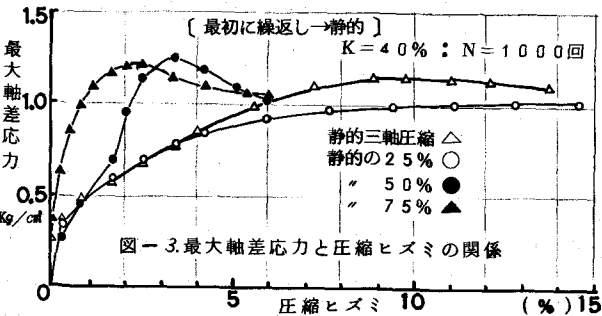


図-3. 最大軸差応力と圧縮ヒズミの関係

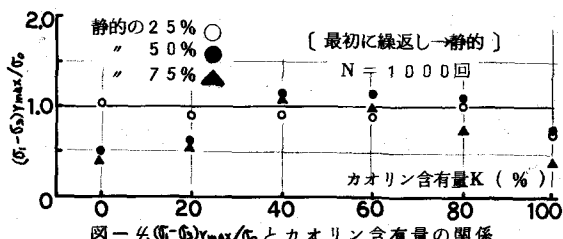


図-4.  $(\sigma_1 - \sigma_3)_{max}/\sigma_r$  とカオリン含有量の関係

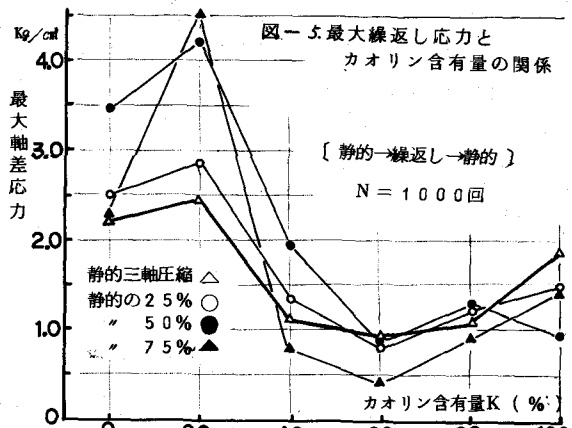


図-5. 最大複返し応力とカオリン含有量の関係

N = 1000 回